

Daten zu den optischen Eigenschaften dünner Silberschichten

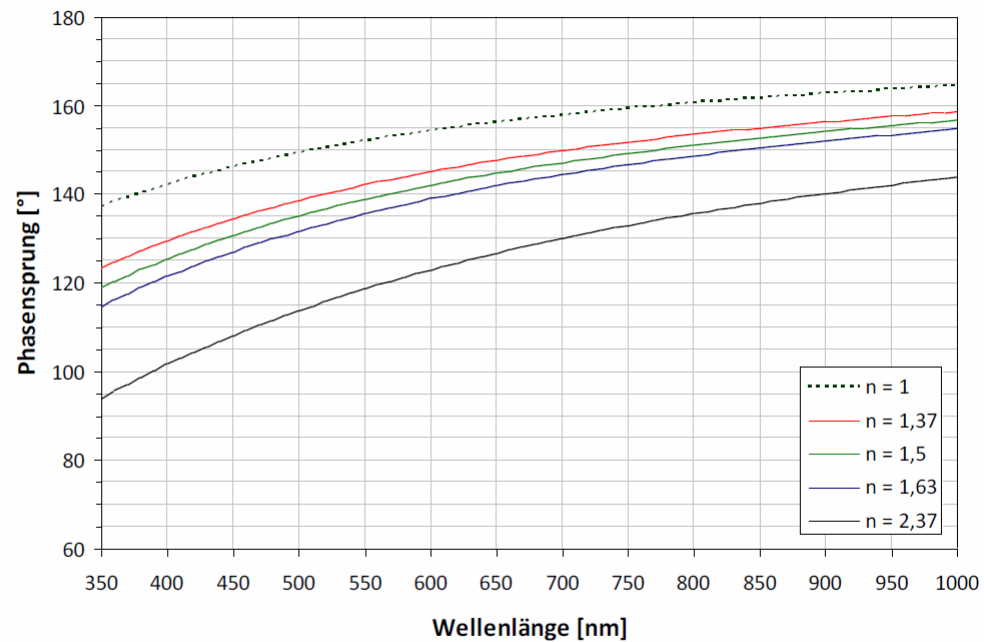


Abbildung 14 – Verlauf des Phasensprungs bei Reflexion an einer Ag-Schicht für diverse Medien mit Brechungsindizes n .

Wellenlänge [nm]	Phasensprünge für verschiedene Brechungsindizes n [°]				
	1,00	1,37	1,50	1,63	2,37
400	142,04	129,54	125,42	121,44	101,63
420	143,72	131,66	127,66	123,80	104,35
440	145,27	133,62	129,74	125,98	106,92
460	146,70	135,44	131,67	128,02	109,34
480	148,01	137,12	133,47	129,91	111,62
500	149,23	138,69	135,14	131,68	113,78
520	150,36	140,15	136,70	133,34	115,82
540	151,41	141,52	138,17	134,89	117,75
560	152,39	142,79	139,54	136,35	119,58
580	153,31	143,99	140,83	137,72	121,31
600	154,17	145,12	142,04	139,01	122,95
620	154,98	146,18	143,18	140,23	124,52
640	155,73	147,18	144,25	141,38	126,00
660	156,45	148,12	145,27	142,46	127,42
680	157,12	149,01	146,23	143,49	128,76
700	157,76	149,86	147,15	144,47	130,04
720	158,36	150,66	148,01	145,40	131,27
740	158,93	151,42	148,83	146,28	132,44
760	159,48	152,14	149,61	147,12	133,56
780	159,99	152,83	150,36	147,92	134,62
800	160,48	153,48	151,07	148,68	135,65

Tabelle 1 - Phasensprünge bei Reflexion an dünnen Silberschichten

Phasensprung bei Reflexion an Silber

